

# Unidad 04. Esfuerzos causados por la flexión

## Diseño por flexión y esfuerzos cortantes en vigas

Michael Heredia Pérez  
[mherediap@unal.edu.co](mailto:mherediap@unal.edu.co)

Universidad Nacional de Colombia sede Manizales  
Departamento de Ingeniería Civil  
Análisis Estructural Básico

2023b



## Advertencia

Estas diapositivas son solo una herramienta didáctica para guiar la clase, por si solas no deben tomarse como material de estudio y el estudiante debe dirigirse a la literatura recomendada.



## Derrotero

- 5.6. Diseño de vigas por esfuerzos de flexión
- 5.8. Esfuerzos cortantes en vigas se sección rectangular
- 5.9. Esfuerzos cortantes en vigas se sección circular
- 5.10. Esfuerzos cortantes en el alma de vigas con alas
- 5.11. Flujo de cortante

## Derrotero

- 5.6. Diseño de vigas por esfuerzos de flexión
- 5.8. Esfuerzos cortantes en vigas se sección rectangular
- 5.9. Esfuerzos cortantes en vigas se sección circular
- 5.10. Esfuerzos cortantes en el alma de vigas con alas
- 5.11. Flujo de cortante

## Diseño de vigas por esfuerzos de flexión

Desde el punto de vista de la resistencia, buscamos la **forma** y **tamaño** de la viga tal que los esfuerzos actuantes en ella no excedan el esfuerzo admisible del material. Buscaremos el requerido módulo de la sección, según sea su simetría geométrica y comportamiento:

### Caso 1: simétrico

- Secciones doblemente simétricas y con la misma resistencia a tracción que a compresión:

$$S = \frac{M_{\text{máx}}}{\sigma_{\text{allow}}}.$$

- Debemos elegir una viga que proporcione un módulo de sección al menos tan grande como el obtenido a partir de la ecuación.

### Caso 2: asimétrico

- Secciones que no son doblemente simétricas y que su resistencia a tracción y a compresión es diferente.
- Debemos calcular  $S$  para cada comportamiento, buscando cumplir con una viga que satisfaga ambos criterios.

## Vigas de secciones y formas estandar

Las dimensiones y propiedades de vigas en materiales metálicos y maderas, así como su procedimiento de diseño, están regulados por diferentes instituciones de autoridad en el mundo, algunas de ellas son:

### Estructuras metálicas

- *National Structural Steelwork Specification*, The British Constructional Steelwork Association, UK.
- *Steel Construction Manual*, AISC American Institute of Steel Construction, United States.
- *Eurocode 3*, Europa.
- *Reglamento Colombiano de Construcción Sismo resistente NSR-10, título F: estructuras metálicas.*

### Estructuras de madera

- *National Design Specification for Wooden Construction*, United States.
- *Eurocode 5*, Europa.
- *Reglamento Colombiano de Construcción Sismo resistente NSR-10, título G: estructuras de madera y estructuras de guadua.*



# Vigas de secciones y formas estandar

## Un vistazo a la norma NSR-10 para estructuras metalicas

NSR-10 – Capítulo F.5 – Estructuras de aluminio			
Tabla F.5.4.7-2 Parámetros de pandeo torsional para miembros a compresión			
1		$p \leq 5$	$\lambda_0 = \lambda_1 = 5B/(1 - 0.6p^{1/3})(h/h_0)^{1/2}$ $\lambda = \lambda_1/\lambda_0$ $X = 0.6$
2		$p \leq 5$ $1 \leq w \leq 2.5$	$\lambda_0 = \lambda_1 = (w-1)[2(w-1)^2 - 1.5p]$ $\lambda = \lambda_1/\lambda_0$ $X = 0.6$
3		Igual	$\lambda_0 = 66$ $\lambda = \lambda_1/\lambda_0$ $X = 0.6$
4		$p \leq 5$ $0.5 \leq B/D \leq 1.0$	$\lambda_0 = (h/h_0)[4.2 + 0.5(B/D)^2] - 0.6p^{1/3}(h/h_0)^{1/2}$ $\lambda = \lambda_1/\lambda_0$ $X = 0.6 - 0.4(1 - B/D)^2$
5		$p \leq 5$ $0.5 \leq B/D \leq 1.0$ $1 \leq w \leq 2.5$	$\lambda_0 = \lambda_1 = 1.5p(w-1) - 2(w-1)^2$ $\lambda = \lambda_1/\lambda_0$ $X = X_1$
6		Igual	$\lambda_0 = 37$ $\lambda = \lambda_1/\lambda_0$ $X = 0.60$
7		$p \leq 3.5$	$\lambda_0 = 5.1B/(1 - p^{1/3})(h/h_0)^{1/2}$ $X = 1$
8		$p \leq 5$ $0.5 \leq B/D \leq 2.0$	$\lambda_0 = \lambda_1 = (h/h_0)[4.4 + 1.1(h/h_0)^2] - 0.7p^{1/3}(h/h_0)^{1/2}$ $\lambda = \lambda_1/\lambda_0$ $X = \lambda_1 - 1.1 - 0.3B/h$
9		$p \leq 5$ $0.5 \leq B/D \leq 2.0$ $1 \leq w \leq 2.5$	$\lambda_0 = \lambda_1 = 1.5p(w-1) - 2(w-1)^2$ $\lambda = \lambda_1/\lambda_0$ $X = X_1$
F-493			
NSR-10 – Capítulo F.5 – Estructuras de aluminio			
Tabla F.5.4.7-2 (continuación) Parámetros de pandeo torsional para miembros a compresión			
10		Igual	$\lambda_0 = 78$ $\lambda = \lambda_1/\lambda_0$ $X = 0.33$
11		Igual	$\lambda_0 = 68$ $\lambda = \lambda_1/\lambda_0$ $X = 0.76$
12		Igual	$\lambda_0 = 63$ $\lambda = \lambda_1/\lambda_0$ $X = 0.89$
13		$0.5 \leq B/D \leq 2.0$ $p \leq 3.5$	$\lambda_0 = (h/h_0)[1.4 + 1.5(w/h_0) + 1.1(h/h_0)] - p^{1/3}(h/h_0)^{1/2}$ $\lambda = \lambda_1/\lambda_0$ $X = 1.3 - 0.8B/D + 0.2(h/h_0)^2$
14		Igual	$\lambda_0 = 65$ $\lambda = \lambda_1/\lambda_0$ $X = 0.78$
15		$1 \leq B/D \leq 3$ $1 \leq C/B \leq 2$	$\lambda_0 = (h/h_0)[7 + 1.5(B/D)(C/B)]$ $\lambda = \lambda_1/\lambda_0$ $X = 0.25B/h - 0.04(h/h_0)^2$ $Y = 0.14 - 0.02(B/h - 0.02C/B)/h_0$
16		$1 \leq B/D \leq 3$ $C/B \leq 0.4$	$\lambda_0 = (h/h_0)[7 + 1.5(B/D) + 5(C/B)]$ $\lambda = \lambda_1/\lambda_0$ $X = 0.25B/h - 0.04(h/h_0)^2 - 0.25C/B$ $Y = 0.12 - 0.02(B/h) + [0.4(C/B)^2]/(B/h - 0.5)$
17		$1 \leq B/D \leq 3$ $C/B \leq 0.4$	$\lambda_0 = (h/h_0)[7 + 1.5(B/D) + 5(C/B)]$ $\lambda = \lambda_1/\lambda_0$ $X = 0.25B/h - 0.04(h/h_0)^2$ $Y = 0.12 - 0.02(B/h) + [0.05(C/B)]/(B/h - 0.5)$
F-494			

Figura: Recorte del título F de la NSR-10.



## Eficiencia relativa de distintas formas de vigas

Desde el punto de vista de la resistencia, la eficiencia en vigas depende principalmente de la forma de la sección transversal. **La forma más eficiente es aquella en la cual el material está localizado lo más lejos posible del eje neutro.**

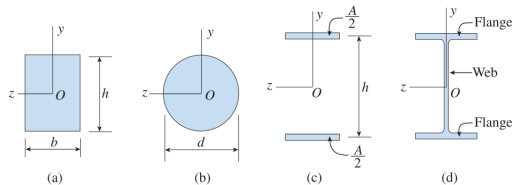


Figura: Diferentes secciones transversales de vigas.

Sección cuadrada:

$$S_{\text{cuadrado}} = \frac{h^3}{6}$$

$$= 0,1160d^3$$

Sección circular

$$S_{\text{circulo}} = \frac{\pi d^3}{32}$$

$$= 0,0982d^3$$

Sección ideal:

$$I = 2 \frac{A}{2} \left( \frac{h}{2} \right)^2 = \frac{Ah^2}{4}$$

$$S = \frac{1}{h/2} = 0,5Ah$$

Sección tipo I:

$$S \approx 0,35Ah$$

## Ejemplo de clase

### Example 5-5

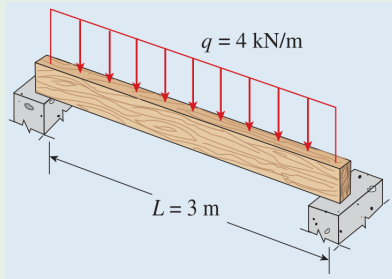


Figura: Viga de madera simplemente apoyada.

Una viga simplemente apoyada de madera tiene una luz de 3 m y soporta una carga uniformemente distribuida de 4 kN/m. El esfuerzo admisible a flexión es de 12 MPa, la madera pesa  $5.4\text{ kN/m}^3$ , y la viga está soportada lateralmente frente a pandeo (*buckling*) o vuelco (*tipping*). Seleccione una sección adecuada de la tabla en el apéndice F de Gere and Goodno (2012).

## Estudio autónomo de la sección

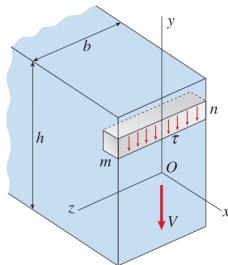
### Ejercicios recomendados

- Todos los ejemplos de la sección
- 5.6-5
- 5.6-12
- 5.6-17

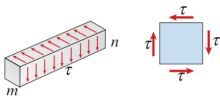
## Derrotero

- 5.6. Diseño de vigas por esfuerzos de flexión
- 5.8. Esfuerzos cortantes en vigas se sección rectangular
- 5.9. Esfuerzos cortantes en vigas se sección circular
- 5.10. Esfuerzos cortantes en el alma de vigas con alas
- 5.11. Flujo de cortante

## Esfuerzos cortantes verticales y horizontales



(a)



(b)



(c)

### Hipótesis de análisis

1. Los esfuerzos cortantes  $\tau$  actuantes en la sección transversal son paralelos a la fuerza cortante  $V$ , es decir, paralelos a los lados de la sección transversal.
2. Los esfuerzos cortantes  $\tau$  están uniformemente distribuidos en el espesor  $b$  de la sección, aunque pueden variar en la altura.
3. Las superficies superior e inferior no estarán sometidas a esfuerzos cortantes, en otras palabras,  $\tau = 0$  cuando  $y = \pm h/2$ .

Figura: Esfuerzos cortantes en una viga de sección rectangular

## Fórmula del cortante

Estando en un estado de flexión no uniforme, se generan fuerzas cortantes en la sección, generando esfuerzos cortantes verticales y horizontales de igual magnitud, así que calculando los horizontales se da respuesta a los verticales.

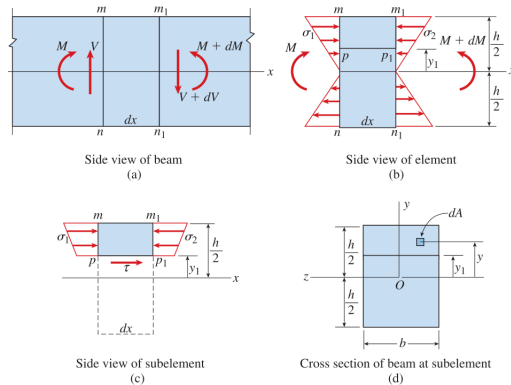


Figura: Esfuerzos cortantes en una viga de sección rectangular

## Fórmula del cortante

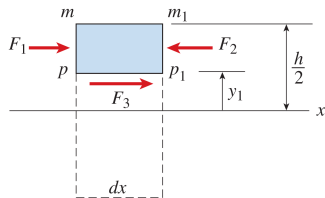


Figura: Diagrama de cuerpo libre parcial de un subelemento mostrando todas las fuerzas horizontales.

Análisis:

- Las resultantes de los esfuerzos normales por flexión en el elemento:

$$F_1 = \int \frac{My}{I} dA \quad F_2 = \int \frac{(M + dM)y}{I} dA.$$

- Del equilibrio horizontal en la sección transversal:

$$F_3 = \frac{dM}{I} \int y dA.$$

- Bajo la hipótesis de que  $\tau$  está uniformemente distribuido en el espesor:

$$F_3 = \tau b dx$$

- Igualando, y sabiendo que  $dM(x)/dx = V(x)$ :

$$\tau = \frac{V}{Ib} \int y dA.$$

## Fórmula del cortante

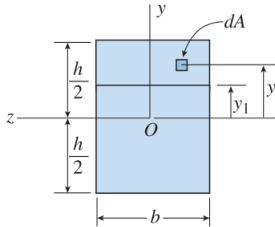


Figura: Subelemento en la sección transversal analizada de una viga.

- La integral es el primer momento de área del trozo de sección transversal sobre el nivel al cual se quiere calcular el esfuerzo cortante:

$$Q = \int y dA.$$

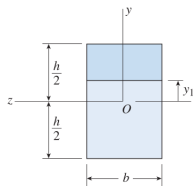
- La fórmula del cortante:

$$\tau = \frac{VQ}{Ib}.$$

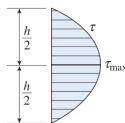
**Observación:** el primer momento de área  $Q$  varía con la distancia  $y_1$  desde el eje neutro, igualmente lo hará el esfuerzo cortante  $\tau$ .



## Cálculo del primer momento de área $Q$



(a)



(b)

- Si lo calculamos por “geometría de bloques”:

$$Q = b \left( \frac{h}{2} - y_1 \right) \left( y_1 + \frac{h/2 - y_1}{2} \right) = \frac{b}{2} \left( \frac{h^2}{4} - y_1^2 \right).$$

- Si lo calculamos resolviendo la integral:

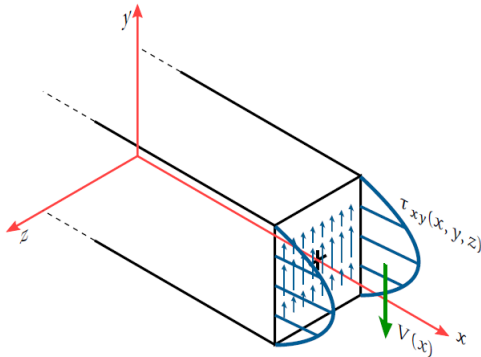
$$Q = \int_{y_1}^{h/2} y b \, dy = \frac{b}{2} \left( \frac{h^2}{4} - y_1^2 \right).$$

- En todo caso, reemplazando en la fórmula de cortante:

$$\tau = \frac{V}{2I} \left( \frac{h^2}{4} - y_1^2 \right)$$

**Figura:** Distribución de los esfuerzos cortantes en una viga de sección rectangular: (a) sección transversal de la viga y (b) diagrama que muestra la distribución parabólica de esfuerzos cortantes en la altura de la viga.

# Interpretación de las ecuaciones derivadas



- El esfuerzo cortante es nulo en  $y_1 = \pm h/2$ .
- El máximo esfuerzo cortante ocurre en el eje neutro ( $y_1 = 0$ ) donde  $Q$  alcanza su máximo, así:

$$\tau_{\text{máx}} = \frac{3}{2} \frac{V}{A}.$$

**Figura:** Los esfuerzos cortantes, en el caso de una viga de sección rectangular, varían de forma parabólica con respecto al eje  $y$ . La fuerza cortante es positiva cuando la resultante de los esfuerzos cortantes  $\tau_{xy}$  mostrados apunta en la dirección contraria al eje  $y$ . Tomado de Álvarez (2024).

## Limitaciones en el cálculo del esfuerzo cortante con la formulación planteada

### Fórmula del cortante (*Shear formula*)

$$\tau = \frac{VQ}{Ib}$$

1. Ecuaciones válidas para vigas de material elástico lineal con pequeñas deflexiones.
2. En el caso de secciones rectangulares, la precisión de la fórmula del cortante depende de la relación altura-ancho de la sección. Cuando  $h/b \rightarrow 1$  la fórmula del cortante sobreestima el esfuerzo cortante.
3. No es aplicable a secciones circulares o semicirculares. La fórmula del cortante aplica solamente a vigas prismáticas.

## Efectos de las deformaciones angulares

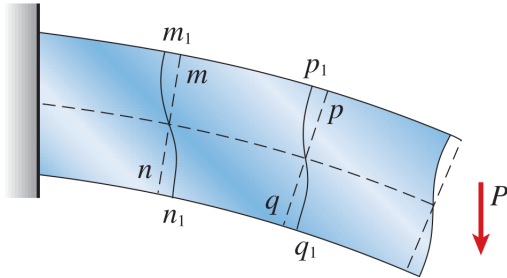


Figura: Alabeo de la sección transversal de una viga debido a las deformaciones angulares.

1. Como resultado de las deformaciones angulares, la sección transversal que antes era plana ahora se alabea. Deformación angular máxima en el eje neutro y mínima (nula) en las superficies externas, donde las curvas son perpendiculares a las mismas.
2. Elongación/contracción de los elementos longitudinales debidas a la flexión no se afectan por las deformaciones angulares, y la distribución de esfuerzos normales es la misma que en flexión pura.
3. En la mayoría de casos, es confiable usar la fórmula de la flexión para condiciones de flexión no uniforme.

## Ejemplo de clase

### Example 5-11

Una viga simplemente apoyada de metal con luz de 1 m soportada en los puntos  $A$  y  $B$ . La carga en la viga incluye su peso propio y tiene una intensidad de  $28 \text{ kN/m}$ . La sección transversal de la viga es rectangular de  $25 \times 100 \text{ mm}$ . Desprecie el pandeo lateral. Determine el esfuerzo normal y esfuerzo cortante en el punto  $C$ , a  $25 \text{ mm}$  por debajo de la parte superior de la viga y a  $200 \text{ mm}$  del apoyo en  $B$ . Muestre estos esfuerzos dibujados en un elemento de esfuerzos en el punto dado.

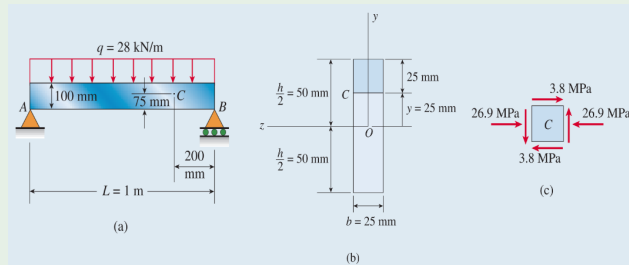


Figura: (a) Viga simple con carga uniformemente distribuida, (b) sección transversal de la viga y (c) elemento de esfuerzo mostrando los esfuerzos en el punto  $C$ .

## Estudio autónomo de la sección

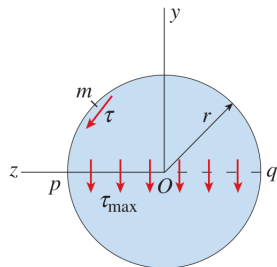
### Ejercicios recomendados

- Todos los ejemplos de la sección
- 5.8-1
- 5.8-5
- 5.8-8
- 5.8-9

## Derrotero

- 5.6. Diseño de vigas por esfuerzos de flexión
- 5.8. Esfuerzos cortantes en vigas se sección rectangular
- 5.9. Esfuerzos cortantes en vigas se sección circular
- 5.10. Esfuerzos cortantes en el alma de vigas con alas
- 5.11. Flujo de cortante

## Esfuerzos cortantes en vigas se sección circular



Podemos calcular los esfuerzos cortantes en el eje neutro. Asumimos:

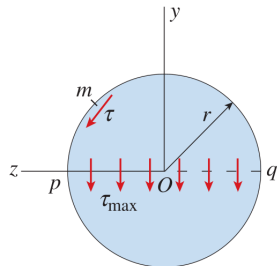
1. En el eje neutro están los esfuerzos máximos.
2. Allí los esfuerzos cortantes actúan paralelos al eje  $y$  y son de intensidad constante en el espesor de la viga.
3. Por 2. podemos aplicar la fórmula del cortante  $\tau = VQ/Ib$  en el eje neutro.

Figura: Esfuerzo cortante actuando en la sección transversal de una viga circular.



## Esfuerzos cortantes en vigas se sección circular

Para una sección circular sólida



Conocemos el momento de inercia  $I$ , el primer momento de área  $Q$  y el diámetro  $b$  por notación:

$$I = \frac{\pi r^4}{4} \quad Q = A\bar{y} = \left( \frac{\pi r^2}{2} \right) \left( \frac{4r}{3\pi} \right) = \frac{2r^3}{3} \quad b = 2r.$$

Reemplazando en la fórmula del cortante (esfuerzo cortante máximo):

$$\tau_{\text{máx}} = \frac{VQ}{Ib} = \frac{V(3r^3/3)}{(\pi r^4/4)(2r)} = \frac{4}{3} \frac{V}{A}.$$

Figura: Esfuerzo cortante actuando en la sección transversal de una viga circular.

## Esfuerzos cortantes en vigas se sección circular

Para una sección circular hueca

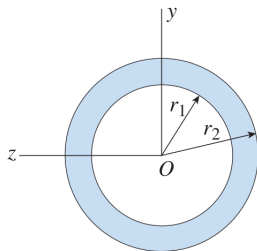


Figura: Sección circular hueca, un tubo.

Conocemos el momento de inercia  $I$ , el primer momento de área  $Q$  y el diámetro  $b$  por notación:

$$I = \frac{\pi}{4}(r_2^4 - r_1^4) \quad Q = \frac{2}{3}(r_2^3 - r_1^3) \quad b = 2(r_2 - r_1).$$

Reemplazando en la fórmula del cortante (esfuerzo cortante máximo):

$$\tau_{\text{máx}} = \frac{VQ}{Ib} = \frac{4}{3} \frac{V}{A} \left( \frac{r_2^2 + r_2 r_1 + r_1^2}{r_2^2 + r_1^2} \right),$$

$$A = \pi(r_2^2 - r_1^2).$$

## Estudio autónomo de la sección

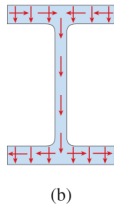
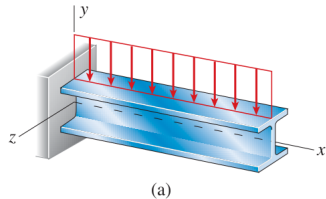
### Ejercicios recomendados

- Todos los ejemplos de la sección

## Derrotero

- 5.6. Diseño de vigas por esfuerzos de flexión
- 5.8. Esfuerzos cortantes en vigas se sección rectangular
- 5.9. Esfuerzos cortantes en vigas se sección circular
- 5.10. Esfuerzos cortantes en el alma de vigas con alas
- 5.11. Flujo de cortante

## Vigas de sección I y sus variaciones



Configuración:

**Figura:** (a) Viga de sección alada ancha y (b) direcciones del esfuerzo cortante actuando en la sección transversal

## Esfuerzos en el alma de la viga tipo I y sus variaciones

## Fuerza cortante en el alma

## Limitaciones de las ecuaciones desarrolladas



## Estudio autónomo de la sección

### Ejercicios recomendados

- Todos los ejemplos de la sección
- 5.10-4
- 5.10-7
- 5.10-12

## Derrotero

- 5.6. Diseño de vigas por esfuerzos de flexión
- 5.8. Esfuerzos cortantes en vigas se sección rectangular
- 5.9. Esfuerzos cortantes en vigas se sección circular
- 5.10. Esfuerzos cortantes en el alma de vigas con alas
- 5.11. Flujo de cortante

## Flujo de cortante

## Estudio autónomo de la sección

### Lectura

Flujo de cortante, wikipedia, [link](#).

### Ejercicios recomendados

- Todos los ejemplos de la sección

## Referencias

Gere, J. M. and Goodno, B. J. (2012). *Mechanics of materials*. Cengage learning.

Álvarez, D. A. (2024). *Teoría de la elasticidad usando Matlab y Maxima. Volumen 3: Vigas, Losas y Estabilidad elástica*. Universidad Nacional de Colombia.